

B₂O₃



B₂O₃

Wacker, Woolley, Fair

1945

Properties and
gaseous equilibria of boron,
oxygen and oxides of boron

Tech. Rept. to Bur Aero, Navy Dept.,
submitted by Heat and Power

Division, NBS, Feb 1945

reserves

B_2O_3

DECEMBER 1944

1951

Huff V.H. et al.

General Method and Thermo-
dynamic Tables for Compu-
tation of Equilibrium Com-
position and Temperature of
Chemical Reactions.

Rept 1037, Cleveland, Ohio,
NASA, 1951.

M.G.P.

1957

B₂O

Хафо, Гордон, Моррелл.

(погребённую скелету и в музей)

и - фрагм.

из биво.

(c 1.000° K)

наименуя спасенный на сж. льгах
в ханке

Pacreat Resin vs paracite Wacker P,
Wooley H., Fair M. M.-g. cbfa n
paracite resinous B, BO, B₂O₃
Tech. Rep. to Bur. Aero., Navy Dept.
submitted by Heat and Power Div.
Nat. Bur. Standards, Jan. 25, 1945.

B_2O_3 (заг)	J.R. Seuler, J.L. Margrave	11956
при этом.		
Ch-B2	JACS 78, 2811-12.	
	Инверсия смеси B_2O_3 и яко- жидкости. Ch-B2 изотермически изолируют B_2O_3 , B_2O_2 и B_2O .	
Ch. Abst	Природное изобарное изменение вр. при темпер. 90-2400°К	
117, 1956	процесс инверсии образуется	

оксиды B_2O_3 (раз) и никелев раз 5% B_2O_2 (раз)
 B_2O_3 (раз) или оксиды - гидраты. Никелев. оксид
ник. и никель.

На основе введенных никеля. можно
 B_2O_3 (раз) в кол. 2 атома В Ник. на одинак.
расстояниях от равнобедренного треугольника из
никеля распределиться при этом стечени
и флюксообразование.

Bal3(g)

m.g. 2.

T

1957
Margrave J.R., et al.

U.S. Dept. Comm.,
Office Tech. Ser.
PB Rept. 128, 540, 4pp

(Cer. $\beta_2\beta_3$) T

B₂O₃

Setze P.C

21957

наг. огни

NACA RME 57B14

1957

Трибология
внешней группы для B₂O₃
(биметаллическая модер)
на основе трубы Kallmann'a и Kriegler'a
(Rand Corp. Rept P-120 1949)

Генер. Rep. vs. known Period. and Transp. B. 1955

B₂O₃

Margrave J L 48p
(economy cu Hg B)

1957

9th go 2000

XVI^e congrès intern de
chimie pure et appliquée
Paris 1957 (cf. 52)

TOK	4
298	50
500	55
1000	66
1500	73,1
2000	78,8

- оуенкл

B2K10	J. L. Margrave, M. R. Soulen, G. E. Leroy, F. J. Green, S. P. Randall	V103
B ₂ O ₃ -H ₂ O	Congr. intern. chim. pure et appl. . 1 ^e , Paris, 1957, sect. chim. minérale 521-7 (Publ. 1958) ann.	
M. J. G.		
ca 54	Supergyppe v. ffp. klofumite chalcocite	bischofite mergerite
947	Fayalite-p. magnetite	& augite B ₂ O ₃ -H ₂ O

На окн. существоующий, фарин гидро кристалл
состав нарост, склоняется к мешко-веникулье
и характеризует B_2O_3 . Относительно, при добавлении водки
испарение B_2O_3 резко уменьшается и частично
упрощается при 500°. Изучен характер веса
и конс. ф.мс нарост. гидро. нарост водки и
изображены приведены в таблицу, по условиям
получения реалии приводят к образованию
 $H_2B_2O_4$ и безводного H_3BO_2 , а при высыпке
температура отсутствует $H_3BO_3(f)$, ког.
характеризует $H_3BO_3(ras)$

QB - V 4444

1959

B₂O₃

m.g. qo-ymen
qo 2500°K

Thermodynamic and Transport Properties of Gases,
Liquids and Solids

New York 1959

Evans W.H., Prosen E.J., Wagman D.D.
citr 226.

Оценка структуры и гасей для

B₂O₃ босса проведена с помощью
других более точных соединений, а
также исходя из соедине-

ки, подобные по структуре предполага-
емых угловые модели с одинарной вейной
связи & BO (White, 1958, таф. соч.; White & Ch.P.
1958, 28, 508.) эти данные рекомендуются
как предварительные

T°K	ϕ	S
298,15	55,40	65,71
500	61,33	74,09
800	67,95	83,39
1000	71,54	88,29
1200	74,69	91,48
1500	78,80	97,79
1800	82,34	100,24
2000	84,47	104,85
2500	89,12	110,44

1959

B₂O₃

Reader C.L.

T.p.

300-6000°K

U.S. At. Energy Comm. AGCII
4508, 206 pp. (1959, sept)

Межисоцна сибирскé
сб-ва працы кіров дзял-
найсе в лігасенсесе
зароблені ссср якесе.

1959

 B_2O_3

White D., Mann D.E., Walsh P.N.,
Sommer A.

Ohio State Univ., Res. Found., R.F.

Prog. 691, Tech. Rep. 2. June 1959. 24 pp.

UK cerasiton nomenklature B_2O_3 (rei)
crys. rayon u tigrisognathus
gyrocyten.

m. Q.?

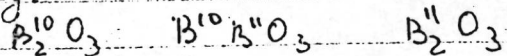
(+I) (III)

B_2O_3

Мансуров А.А., Майорский В.Н.
Октябрь 1960 г. Москва 1960

4-5 g/cm³

1500-2000°K Абсорбции были найдены
среди значений частоты



J ₁	2084	2022	2015
----------------	------	------	------

J ₂	844	829	815
----------------	-----	-----	-----

J ₃	755	754	749
----------------	-----	-----	-----

J ₄	161	161	160
----------------	-----	-----	-----

J ₅	2097	2091	2029
----------------	------	------	------

J ₆	938	936	933
----------------	-----	-----	-----

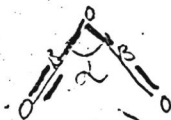
J ₇	682	668	658
----------------	-----	-----	-----

J ₈	278	268	253
----------------	-----	-----	-----

TOK φ S

1500	79,60	98,78
1750	82,62	102,54
2000	85,32	105,85

$$\begin{aligned}z_{B=0} &= 1,36 \text{ \AA} \\ \alpha_{B=0} &= 120^\circ \\ \alpha &= 95^\circ\end{aligned}$$



11980

B₂O₃

wilkins R.L., Ludwig R. et al.
Greene S. A.

T.d. 132f

Original, 132f

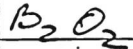
Synop. Combust, 8 th. Pasadena, Calif, 1960, 375-88
(Pub. 1962)

Химический союз
веществ с подавлением
вулканизации.

B₂O₃ White D, Mann D, Walsch P, Sommer ⁽¹⁹⁶⁰⁾

нр. 9456
J. Chem. Phys. 1960 32 N2, 481

30 6000°K 21-к ане кирпичадобравильных B₂O₃ u



Омск 502

Расчеты проведены по:



$$r(B=0) = 1,20 \text{ \AA} ; r_{B-O} = 1,34 \text{ \AA} \quad \angle BOB = 120^\circ \quad \angle OBO = 180^\circ$$

дл. B₂O₃ 0_i = 2095, 1447, 893, 311, 790, 2095, 1335, 762, 897,

дл. B₂O₃ 0_i = 2095, 1411, 873, 310, 758, 2035, 1300, 740, 869.

(дл. B₂O₃) III

TK | 9% | S°

298,15	54,89	64,33
300	60,28	74,84
3000	69,66	85,28
1500	76,49	94,59
2000	81,92	104,56
2500	86,43	107,11
3000	90,27	111,70
3500	93,62	115,61
4000	96,58	119,01
5000	101,65	124,72
6000	105,90	129,39

1961

 B_2O_3

Lewis G., Randall M.,
 Pitzer K., Brewer L.

T.p.

Thermodynamics, Sol II

Brewer $G_f - H_o / T$

Calc T = 298, 500, 1000, 1500, 2000°K

 ΔH_o 
 ΔH_o
 $H_{298} - H_o$

$-\left(F-H_0^{\circ}\right)/T$, cal./deg.	ΔH_{298}° , kcau	$H_{168}-H_0^{\circ}$ kcal	ΔH_0° , kcal.
298 500 1000 1500 2000			
54,89 60,28 69,66 76,45	81,92	-210,1	2,829

Parallels give $B_2O_3(70)$ bimimic us. D. Wilke, P.N. Walsh,
 D.S. Mann, A. Sommer, RF Project 691, Tech. Rept. 4,
 July, 1959.

B_2O_3

Гурвич Л.В. и др.

1962

газ

Москва, 1962

m-f

Справочник

Термодинамические св-ва индиви-
дуальных веществ.

1962

 B_2O_3

Weltner W., Warner J.R.W.,

US ССР J. Chem. Phys., 1962, 37, 292.

Магнитная проницаемость борокислоты
изменяется в зависимости от температуры:Зависимость магнитной проницаемости
 B_2O_3 и $B_2''O_3$ в зависимости от температуры.где $\chi = \frac{C_p(T-H)/T}{S_{\text{сп}} - (E-H)/T} \times 100$
до 60000К (выше температура)

(cell. B_2O_3) III

26

1963

B₂O₃ (201) Sommer A., White D., Linensky M.J.

No. sp. Mann D.E.

300 - 1700 J. Chem. Phys., 1963, 38, 87.

UK energijou nevezetene B₂O₃, Bi₂O₃

z B₂O₃ t magnitick reakcione agressiv.

No. sp. B₂O₃ t 2-x lags, nyeszvarai.

v₄ = 260 nm 172 cm⁻¹

1963

Бр - 7010-V $B_2^{10}O_3$, $B_2^{11}O_3$ термоо.
ф-уши

2 Д48. Термодинамические функции молекул B_2O_3 и B_2S_3 . Nagagajan G. Thermodynamic functions of the B_2O_3 and B_2S_3 molecules. «Z. phys. Chem.» (DDR), 1963, 223, № 1—2, 27—32 (англ.)

В приближении жесткого ротатора — гармонич. осциллятора для 20 различных т-р в интервале 100—1700° рассчитаны энталпия, свободная энергия, энтропия и теплоемкость молекул $B_2^{10}O_3$, $B_2^{11}O_3$, $B_2^{10}S_3$, $B_2^{11}S_3$. Приведены главные моменты инерции рассмотренных молекул.

+1

Ф. 1964. 20



B_2O_3

термод.
ф-ции.

ВФ-7010-V

1963

5 Б484. Термодинамические функции молекул B_2O_3 и B_2S_3 . Nagagajan G. Thermodynamic functions of the B_2O_3 and B_2S_3 molecules. «Z. phys. Chem.» (DDR), 1963, 223, № 1-2, 27—32 (англ.)

Рассчитаны термодинамич. функции (теплосодержание, свободная энергия, энтропия и теплоемкость) $B_2^{10}O_3$; $B_2^{11}O_3$; $B_2^{10}S_3$; $B_2^{11}S_3$ в идеально-газовом состоянии в интервале 100—1700° К в предположении жесткого вращения и гармонич. колебаний. Для расчета употреблялись литературные значения вибрационных частот и мол. параметров.

Б. Тимофеев

Х-1965-5

1963

B.C.P - 7010 - V

B₂O₃B₂S₃T_m. C.P. 205.

100-1700°C

Thermodynamic functions of the B₂O₃ and B₂S₃ molecules

G. Nagarajan (Annamalai Univ., Annamalainagar, India)

Z. Physik. Chem. (Leipzig) 223(1/2), 27-32(1963)(in English)

The molar thermodynamic functions (heat content, free energy, entropy, and heat capacity) were calcd. for B₂¹⁰O₃, B₂¹¹O₃, B₂¹⁰S₃, and B₂¹¹S₃ mols. on the base of a rigid-rotator harmonic-oscillator model at 100-1700°K.

Friedrich Epstein

C.A. 1963-59-10

10816 h

B₂O₃

Nagarajan G.

1963

Z. Phys. Chem. (D) 1983, 223, 27

Tetrahedral triglycine garnet B₂O₃ + 12Ba

	T ¹⁰ B ₂ O ₃	T ¹¹ B ₂ O ₃	T	B ¹⁰ B ₂ O ₃	Φ	S	Φ	S
v ₁	2084	2015						
v ₂	884	815	298.15	55,897	66,243	56,300	66,755	
v ₃	755	749		72,075	88,864	72,624	89,1570	
v ₄	161	160	1000	29,382	98,414	20,102	99,279	
v ₅	2037	2029	1500	81,697	101,331	92,521	102,301	
v ₆	953	933						
v ₇	632	658	1700					
v ₈	728	733						
v ₉	700	673						

$$\begin{aligned} B=0 & \quad 1,20 \quad \angle B_0 B = 95^\circ \quad \text{axial} \\ B=0 & \quad 1,16 \quad \angle B_0 B = 180^\circ \end{aligned}$$

Физ.
6

Ellis R. A., Jr, Goldberg L. P., Gorman J. G.

Possibility of an electrostatic instability in a stellarator.— Phys. of Fluids, 1960, 3, № 5, 797—799.

Об электростатической неустойчивости в стеллараторе.

4—5

ВГБИЛ — ВИНИТИ

B₂O₃(2as)

McBride B. C. P. 1963

Thermodynamic properties
NASA SP-3009, Washington,
1963

$$M = 69,64 \quad \sigma = 2 \quad p_M = 1$$

$$V_i(d_i): 2073(2), 1240, 730, 757, \\ 259, 460, 522, 480$$

$$T_A = 2,933.6 \cdot 10^{-39}$$

$$F_B = 30,545 \cdot 10^{-39} \quad (\leq 120^\circ)$$

$$F_C = 33,479 \cdot 10^{-39}$$

	CP	H-H	S
298,15	15,8476	3343,4	67,0021
3000	25,4072	66960,6	117,6005
6000	25,7245	143812,7	135,3450

1968

B_2O_3 (ray)

$\gamma HNAF$

m. ph.

100 - 6000°K

B_2O_3
(2a3)

YANFF, II U39.

1971

100-6000°K

(1964/2)

1972

B₂O₃ (1)

Счет по научно-иссл. работе

ИПТАИ СССР, 1972 г.

Определение возможных пост.

m.g.98.

и формоизменческих свойств
вещей.

B_2O_3

(ug. rag)

0-6000°

JANAF Suppl

1974

B2D3(2)

1985

ZANAF, Zug., 1985,
cyp. 272.

Mr. 93.

расен 1971

репрод 1971